

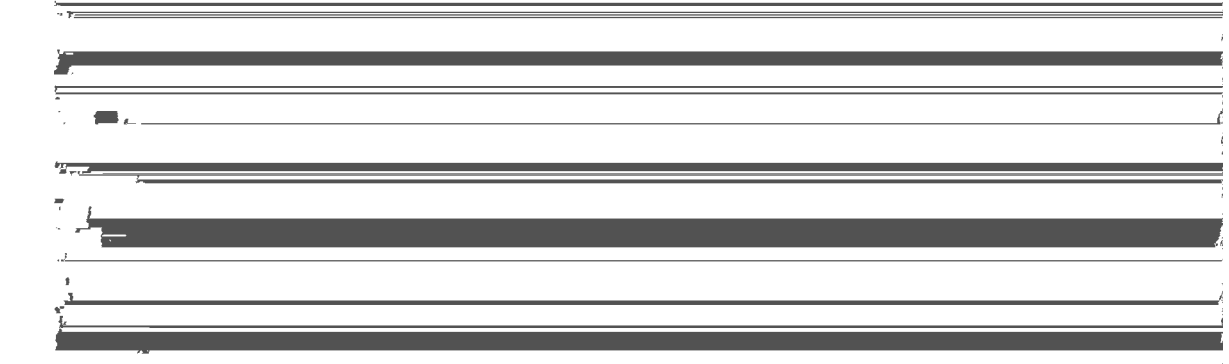
昭
郎

小 坂 勇 次
江 村 德

Electrochemical Properties of Ion-exchange Membranes

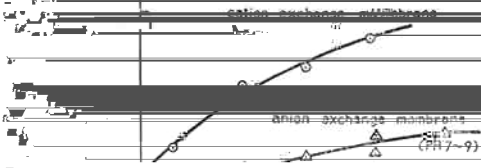


Fig. 1 Apparatus for resistance.



交換膜のそれは逆に上昇する傾向を見せた。この原因

亦化上ノ電解質亦化上ノ電解質



(4)

through the ion exchange membranes

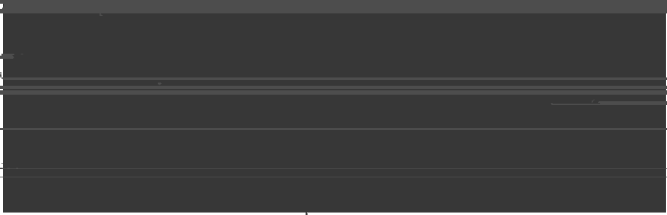
as a function of potential

2.100

intracellular (mole/l)

Cation

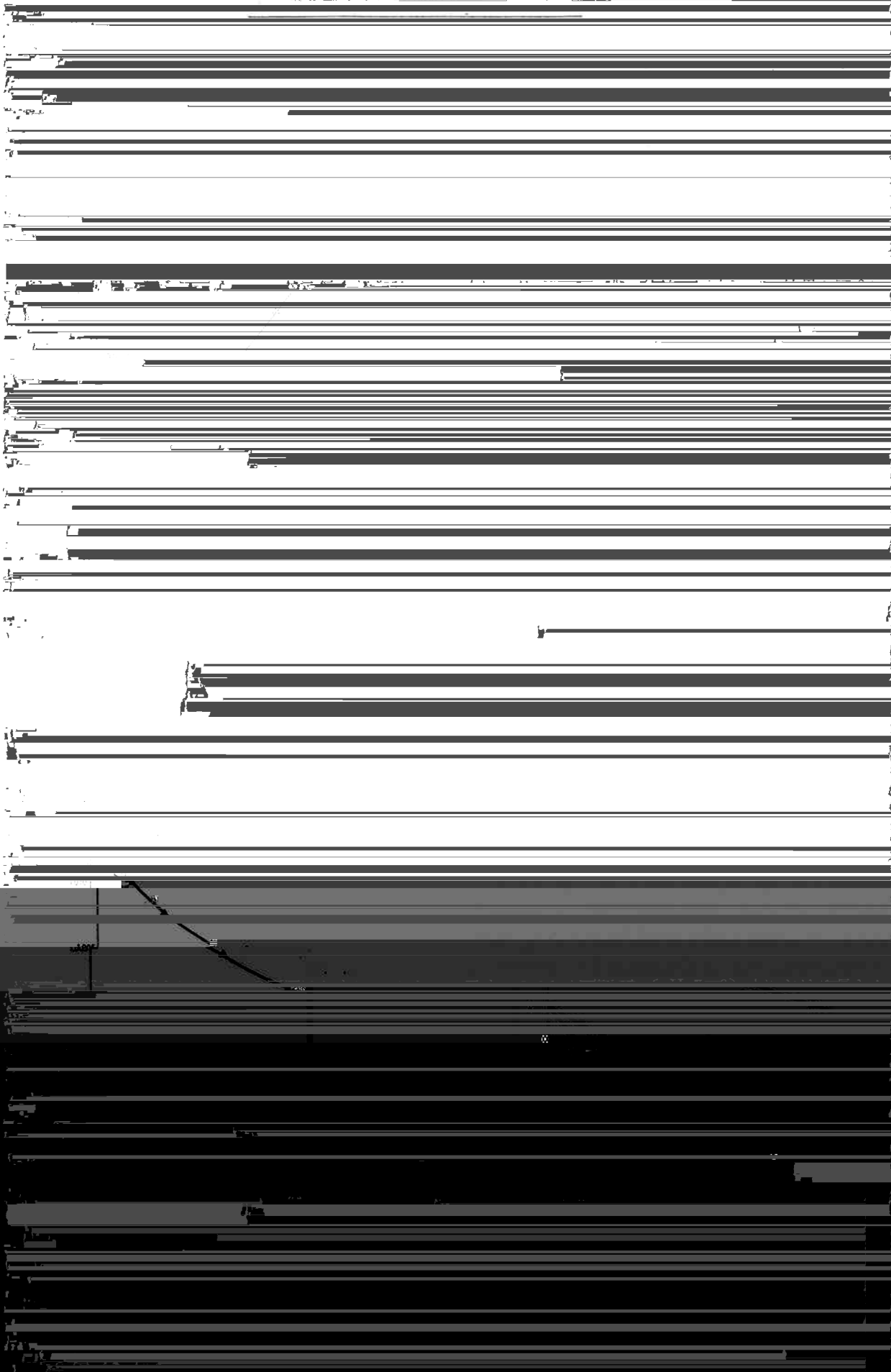
extracellular w
2

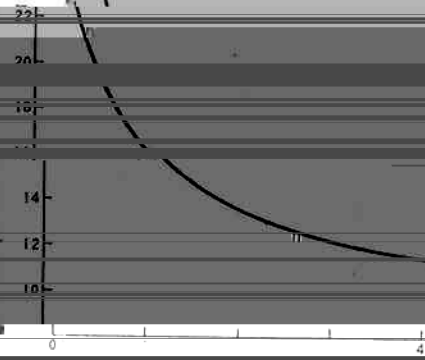


pH 7.4

concentration of NaCl solution (N)

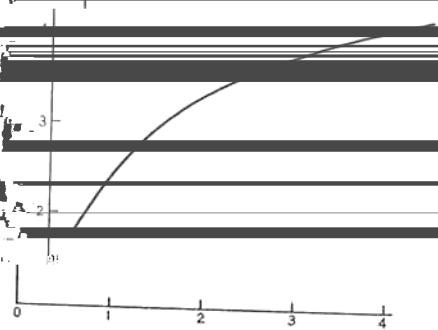
Fig. 7. Time for current to reach steady state





①関係光手II用ネフ

9/



$\text{cm}^2 \Delta N) \Delta C = 0.5 \quad 3 \times 10^{-6} \quad 2 \times 10^{-6}$

$\Delta C = 0.5 \quad 11 \times 10^{-4} \quad 5 \times 10^{-4}$

Fig. 11 Concentration of NaCl solution

0.5 0.070 0.075

(1957)

6) 内野, 中岡, 羽仁, 八幡屋; 電化 26,366, (1958)